

Нр. № Аублиата		№ 13М.	2	3
Нр. № подлинника	4408	№ 13Б.	9065	11005

УДК 621.316.001.4

Группа Е79

ОТРАСЛЕВОЙ СТАНДАРТ

OCT 1 00392-80

АППАРАТЫ КОММУТАЦИОННЫЕ

Методика определения параметров нагрузок и выбора аппаратов по параметрам коммутируемой нагрузки

На 34 страницах

Введен впервые

Проверено в 1984 г.

Распоряжением Министерства от 30 сентября 1980 г. № 087-16

срок действия установлен с 1 июля 1981 г.

Настоящий стандарт устанавливает методику определения параметров электрических нагрузок (в дальнейшем изложении – нагрузок) постоянного тока с номинальной силой тока до 25 А, характеризующих условия работы контактов, и методику выбора коммутационных аппаратов по параметрам коммутируемой нагрузки.

Издание официальное



ГР 8186946 от 24.12.80

Перепечатка воспрещена

1. ВИДЫ НАГРУЗОК, ИХ ПАРАМЕТРЫ

И ОБЩИЕ УКАЗАНИЯ ПО ОПРЕДЕЛЕНИЮ ПАРАМЕТРОВ НАГРУЗОК

1.1. Реальные бортовые нагрузки по своему виду являются смешанными. Для определения их воздействия на контакты коммутационных аппаратов необходимо выделить следующие характерные нагрузки: индуктивную, резистивную, двигательную, ламповую и емкостную.

К индуктивной нагрузке относятся устройства, обладающие существенной собственной и (или) взаимной индуктивностью.

При включении индуктивной нагрузки сила тока нарастает от нуля до установившегося значения, определяемого сопротивлением цепи; при отключении данных нагрузок часть энергии, запасенной в магнитном поле, выделяется в контактной области коммутационного аппарата.

Воздействие индуктивной нагрузки на коммутационный аппарат определяется следующими параметрами:

- номинальным напряжением питания U_H ;
- максимально возможной потребляемой установившейся силой тока ($I_{уст}$)_{max};
- эквивалентной постоянной времени цепи нагрузки T_3 , определенной в соответствии с разделом 2 настоящего стандарта; допускается вместо T_3 использовать количество электричества, прошедшего в цепи за время ее отключения Q_p .

К резистивной нагрузке относятся нагрузки, практически не обладающие собственной или взаимной индуктивностью.

При включении резистивной нагрузки сила тока мгновенно достигает установившегося значения, определяемого сопротивлением цепи. Воздействие резистивной нагрузки на коммутационный аппарат характеризуется следующими параметрами:

- номинальным напряжением питания U_H ;
- максимально возможной потребляемой установившейся силой тока ($I_{уст}$)_{max}.

К двигательной нагрузке относятся цепи с электродвигателями. Особенностью нагрузок этого вида является наличие при их включении пусковой силы тока, превышающей установившуюся силу тока. При отключении нагрузки работа контактов облегчается благодаря действию противоэлектродвижущей силы вращения.

Воздействие двигательной нагрузки на коммутационный аппарат характеризуется следующими параметрами:

- номинальным напряжением питания U_H ;
- максимально возможной потребляемой силой тока в установленном режиме вращения ($I_{уст}$)_{max};
- амплитудой импульса пусковой силы тока I_M , длительностью фронта импульса пусковой силы тока Δt_ϕ и длительностью импульса пусковой силы тока Δt_u .

К ламповой нагрузке относятся цепи, содержащие лампы накаливания. Особенностью этого вида нагрузки является возникновение импульса силы тока при ее включении, существенно превышающего установленное значение силы тока; при отключении ламповая нагрузка идентична резистивной.

Воздействие ламповой нагрузки на коммутационный аппарат характеризуется следующими параметрами:

Наб. № дубликата	4408
Наб. № подлинника	

- номинальным напряжением питания U_H ;
- максимально возможной потребляемой установившейся силой тока (I_{yctm})_{max};
- амплитудой импульса силы тока при включении нагрузки J_M , длительностью фронта импульса силы тока при включении нагрузки Δt_q и длительностью импульса силы тока при включении нагрузки Δt_u .

К емкостной нагрузке относятся цепи, содержащие конденсаторы. Особенностью этого вида нагрузки, как и у ламповой нагрузки, является возникновение импульса силы тока при ее включении, который может существенно превышать установленное значение силы тока. При отключении емкостной нагрузки работа контактов облегчается благодаря отсутствию скачка напряжения на нагрузке.

Воздействие емкостной нагрузки на коммутационный аппарат характеризуется параметрами, аналогичными параметрами ламповой нагрузки.

1.2. При определении параметров нагрузок мощность источника электроэнергии должна быть не менее чем в 10 раз больше минимального значения потребляемой мощности, соответствующей максимальному значению силы тока в цепи. Пульсации напряжения в установившемся режиме не должны превышать значений, указанных в ГОСТ 19705-81.

1.3. Используемые измерительные приборы должны иметь класс точности не хуже 1,0 и пройти государственную поверку в соответствии с ГОСТ 8.513-84.

1.4. Сопротивление подводящих проводов не должно составлять более 1% от сопротивления нагрузки в установившемся режиме.

1.5. Максимально возможное установившееся значение потребляемой нагрузкой силы тока (I_{yctm})_{max} должно определяться экспериментально или расчетным путем при номинальном напряжении и минимально допустимой температуре окружающей среды. Во избежание влияния электрического нагрева на значение силы тока измерения в цепи должны производиться не позднее чем через 10 с после включения нагрузки.

Остальные параметры нагрузок должны определяться в нормальных климатических условиях. Для электромагнитов, используемых в электроприводе (электро-гидравлическом, электропневматическом, электромеханическом), значения T_g и Q_p должны определяться при номинальном нагружении исполнительного органа.

1.6. В технических условиях на нагрузки должны указываться параметры по п. 1.1.

2. МЕТОДИКА ОПРЕДЕЛЕНИЯ ПАРАМЕТРОВ ИНДУКТИВНОЙ НАГРУЗКИ

2.1. Эквивалентная электромагнитная постоянная времени реальной индуктивной нагрузки T_g определяется по количеству электричества Q_p , прошедшего в цепи за время ее отключения.

2.2. Осциллографический метод определения Q_p

2.2.1. Измеряется установившаяся сила тока в цепи испытуемой реальной нагрузки (I_{yctm})_p при нормальной температуре окружающей среды.

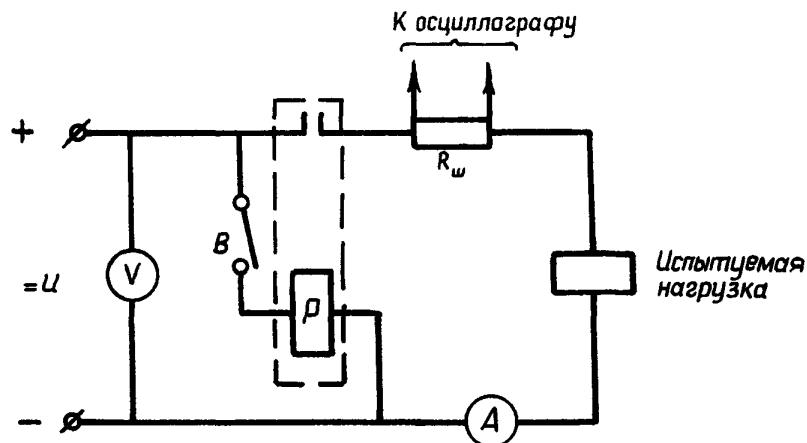
№ изм.	1	2	3	11005
№ изм.	8880	9065		

Инв. № дубликата	4408
Инв. № подлинника	

2.2.2. В зависимости от силы тока ($I_{уст}$)_P по таблице выбирается тип реле, используемый при определении количества электричества Q_P . При отсутствии указанных в таблице реле следует использовать любое негерметичное реле типа ТКЕ, ТКД с соответствующей номинальной силой тока цепи контактов $I_{нк}$ и с тем же количеством контактных пар.

Сила тока нагрузки, А	Тип реле	Сила тока нагрузки, А	Тип реле
$0,5 \leq I_{уст} \leq 1,0$	ТКЕ12ПД1У	$5,0 \leq I_{уст} \leq 10,0$	ТКД12ПД1
$1,0 \leq I_{уст} \leq 2,0$	ТКЕ22ПДТ	$10,0 \leq I_{уст} \leq 25,0$	ТКД201Д1
$2,0 \leq I_{уст} \leq 5,0$	ТКЕ52ПД1		

2.2.3. Для определения Q_P используется электрическая схема, приведенная на черт. 1.



P – реле, выбираемое по п. 2.2.2;

R_H – активное сопротивление нагрузки;

R_w – сопротивление измерительного шунта ($R_w \leq 0,01 R_H$)

Черт. 1

2.2.4. С помощью осциллографа снимаются осциллограммы зависимости мгновенного значения силы тока i от времени t при пяти или более ($K \geq 5$) повторных отключенииах нагрузки. Перед каждым отключением в цепи должен протекать ток с установленной силой тока $I_{уст}$, равной силе тока, определенной по п. 2.2.1.

2.2.5. На каждой из полученных осциллограмм зависимости $i(t)$ промежуток времени от t_o до t_n делится на n равных частей ($n \geq 4$) с интервалом времени Δt .

2.2.6. Для границ интервалов, соответствующих моментам времени $t_o, t_1, t_2, \dots, t_n$, определяются значения силы тока $I_o, I_1, I_2, \dots, I_n$.

№ изм. 3
№ изд. 110005

4408

Наб. № Абонента
Наб. № подлинника

2.2.7. Количество электричества вычисляется по формуле

$$Q_p = \frac{\Delta t}{2} (I_0 + 2I_1 + 2I_2 + 2I_3 + \dots + 2I_{n-1} + I_n). \quad (1)$$

Примечание. Для определения Q_p может быть использован планиметр. В этом случае значение Q_p определяется путем измерения площади S_{lt} , ограниченной зависимостью $i(t)$ и прямыми линиями $i = 0$, $t = t_0$, с последующим расчетом по формуле

$$Q_p = S_{lt} m_i m_t, \quad (2)$$

где m_i — масштаб силы тока на осциллограмме зависимости $i(t)$, А/см;

m_t — масштаб времени на осциллограмме зависимости $t(t)$, с/см.

2.2.8. По результатам обработки осциллограмм зависимости $i(t)$ вычисляется среднее арифметическое значение \bar{Q}_p :

$$\bar{Q}_p = \frac{\sum_{m=1}^K (Q_p)_m}{K}, \quad (3)$$

где $(Q_p)_m$ — результат m -го измерения Q_p ;

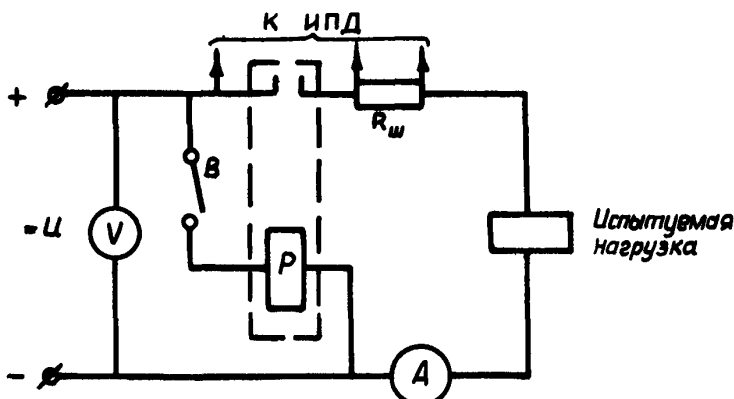
K — число измерений Q_p .

2.3. Метод непосредственного измерения Q_p

2.3.1. Измерения проводятся специальным измерителем параметров дуги (ИПД). Метрологическая аттестация и поверка ИПД осуществляются в соответствии с ГОСТ 8.326-78.

2.3.2. Выполняются операции по пп. 2.2.1 и 2.2.2.

2.3.3. Для определения Q_p собирается электрическая схема, приведенная на черт. 2.



Черт. 2

2.3.4. С помощью ИПД измеряется значение Q_p не менее чем при пяти отключениях ($K \geq 5$) нагрузки. Перед каждым отключением в цепи должен протекать ток с установленной силой тока, равной силе тока, определенной по п. 2.2.1.

2.3.5. По результатам K измерений по формуле (3) вычисляется среднее арифметическое значение \bar{Q}_p .

2.4. Определение значения T_3 методом настройки линейной эквивалентной нагрузки

2.4.1. В электрической схеме (черт. 1 или черт. 2) реальная нагрузка заменяется линейной нагрузкой в виде последовательно соединенных реостата и дросселя с шихтованным магнитопроводом, имеющим регулируемый воздушный зазор и обмотку с отпайками для включения в цепь различного количества витков. Основные параметры регулируемого дросселя приведены в рекомендованном приложении 1.

2.4.2. С помощью реостата устанавливается сила тока в цепи с линейной нагрузкой ($I_{уст}$)_л, равная силе тока реальной нагрузки ($I_{уст}$)_Р, определенной по п. 2.2.1 (напряжение в обоих случаях должно быть равным его номинальному значению).

2.4.3. По результатам не менее пяти отключений ($K \geq 5$) аналогично п. 2.2 или п. 2.3 определяется среднее значение количества электричества, прошедшего в цепи с линейной нагрузкой за время ее отключения \bar{Q}_l . Длительность включенного, а также отключенного состояния цепи не должна быть менее 0,5 с.

2.4.4. Полученное значение \bar{Q}_l сравнивается со значением \bar{Q}_p , полученным по п. 2.3 или по п. 2.4. Если

$$\left| \frac{\bar{Q}_l - \bar{Q}_p}{\bar{Q}_p} \right| > 0,1, \quad (4)$$

то изменением воздушного зазора в магнитопроводе и (или) числа витков обмотки дросселя, включенных в цепь, необходимо обеспечить соблюдение неравенства

$$\left| \frac{\bar{Q}_l - \bar{Q}_p}{\bar{Q}_p} \right| \leq 0,1. \quad (5)$$

При этом для уменьшения \bar{Q}_l необходимо уменьшить индуктивность дросселя путем уменьшения числа включенных витков и (или) увеличения воздушного зазора в магнитопроводе. Для увеличения \bar{Q}_l необходимо увеличить индуктивность дросселя, выполнив обратные действия.

Примечание. При каждом изменении числа витков обмотки дросселя, включенных в цепь, необходимо с помощью реостата изменять ток, восстанавливая равенство $(I_{уст})_l = (I_{уст})_p$.

2.4.5. С помощью осциллографа снимается осциллограмма зависимости силы тока от времени $i(t)$ при включении линейной нагрузки.

2.4.6. По полученной осциллограмме зависимости $i(t)$ определяются длительности нарастания силы тока T :

- T_1 - от нуля до 0,632 $(I_{уст})_l$;
- T_2 - от 0,5 $(I_{уст})_l$ до 0,816 $(I_{уст})_l$.

№ изм.
№ изв.

4408

Наб. № дубликата
Наб. № подлинника

2.4.7. Значения T_1 и T_2 , определенные по п. 2.4.6, сравниваются. Если

$$\left| \frac{T_1 - T_2}{T_1} \right| \leq 0,1 , \quad (6)$$

то электромагнитная постоянная времени линейной нагрузки

$$\tau = \frac{\tau_1 + \tau_2}{2} \quad (7)$$

принимается за значение эквивалентной электромагнитной постоянной времени реальной нагрузки T_3 . Если условие (6) не выполняется, то магнитопровод дросселя насыщен, что недопустимо. В этом случае необходимо операции по пп. 2.4.2 – 2.4.6 повторить при меньшем числе витков обмотки дросселя, включенных в цепь, или (и) при большем воздушном зазоре в магнитопроводе. Если и в этом случае неравенство (6) не выполняется, то необходимо использовать два последовательно включенных дросселя.

2.5. Графический метод определения T_3

2.5.1. T_3 реальной индуктивной нагрузки может быть определена с несколько большей погрешностью без настройки эквивалентной линейной нагрузки с использованием зависимостей $T = f(\bar{Q})$, приведенных в рекомендуемом приложении 2. Для этого используются значения $(I_{\text{уст}})_P$ и \bar{Q}_P , определенные в соответствии с пп. 2.2.1 и 2.2.8 (или п. 2.3.5).

2.5.2. Если сила тока реальной нагрузки ($I_{\text{уст}}$)_P не совпадает с силой тока, для которой построены зависимости $T = f(Q)$, то T_3 определяется из пропорции

$$\frac{I_2 - I_1}{(I_{y\text{cm}})_P - I_1} = \frac{\tau'_2 - \tau'_1}{\tau_3 - \tau'_1}, \quad (8)$$

где I_1 , I_2 – силы тока, ближайшие по значению к силе тока $(I_{уст})_P$, для которых приведены зависимости $T = f(\bar{Q})$, при этом $I_2 > (I_{уст})_P > I_1$; T'_1 , T'_2 – значения T , определенные по зависимостям $T = f(\bar{Q})$, соответственно для токов I_1 и I_2 при значении $\bar{Q} = \bar{Q}_P$.

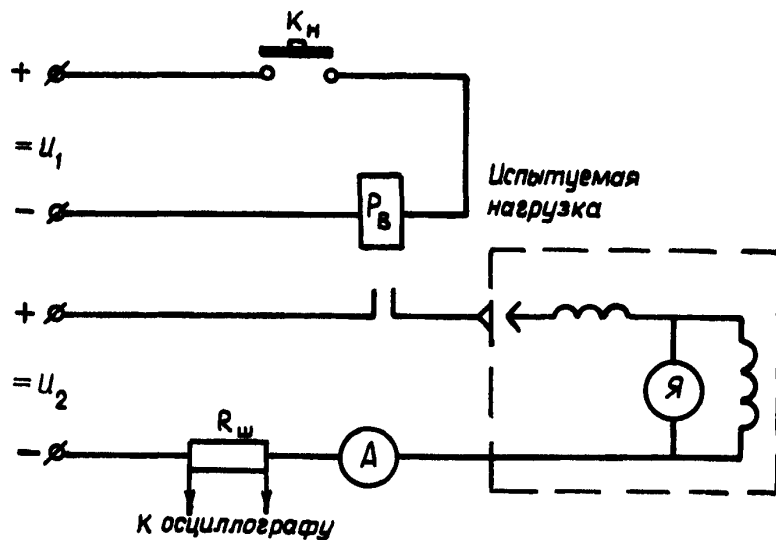
2.6. Для индуктивных нагрузок с потребляемой установившейся силой тока $(I_{уст})_{макс} \leq 0,5$ А значение T_g определяется по пп. 2.2-2.5 при параллельном соединении нескольких нагрузок данного типа. Число параллельно включаемых нагрузок (n) определяется из условия $0,5 \text{ A} < I_{уст} \leq 1,0 \text{ A}$, при этом число нагрузок должно быть максимально возможным. Определенное для группы параллельно включенных нагрузок значение T_g принимается в качестве T_g отдельной нагрузки.

2.7. Пример определения эквивалентной электромагнитной постоянной времени T_s электромагнитов ЭМТ-243 приведен в приложении 3.

3. МЕТОДИКА ОПРЕДЕЛЕНИЯ ПАРАМЕТРОВ ДВИГАТЕЛЬНОЙ НАГРУЗКИ

3.1. Определение электрических параметров переходного процесса в режиме включения

3.1.1. Для определения параметров переходного процесса в режиме включения используется электрическая схема, приведенная на черт. 3.



P_B – реле включения;

R_H – сопротивление нагрузки при установленной силе тока, соответствующей номинальному режиму работы двигателя;

R_w – сопротивление измерительного шунта ($R_w \leq 0,01 R_H$).

Черт. 3

3.1.2. С помощью осциллографа снимается осциллограмма зависимости силы тока от времени $i(t)$ при включении двигателя из состояния покоя в режиме холостого хода при нормальных климатических условиях.

3.1.3. По полученной осциллограмме зависимости $i(t)$ определяется амплитуда пусковой силы тока I_M , длительность фронта импульса пусковой силы тока Δt_{φ} , длительность импульса пусковой силы тока Δt_u . Значение Δt_u определяется как время, в течение которого сила тока в цепи превышает значение $(I_M + I_{yem}) 0,5$. Значение Δt_{φ} определяется как время нарастания силы тока от $i = 0,05 I_M$ до $i = 0,85 I_M$.

3.2. Определение электрических параметров переходного процесса в режиме реверса электродвигателя с противовключением

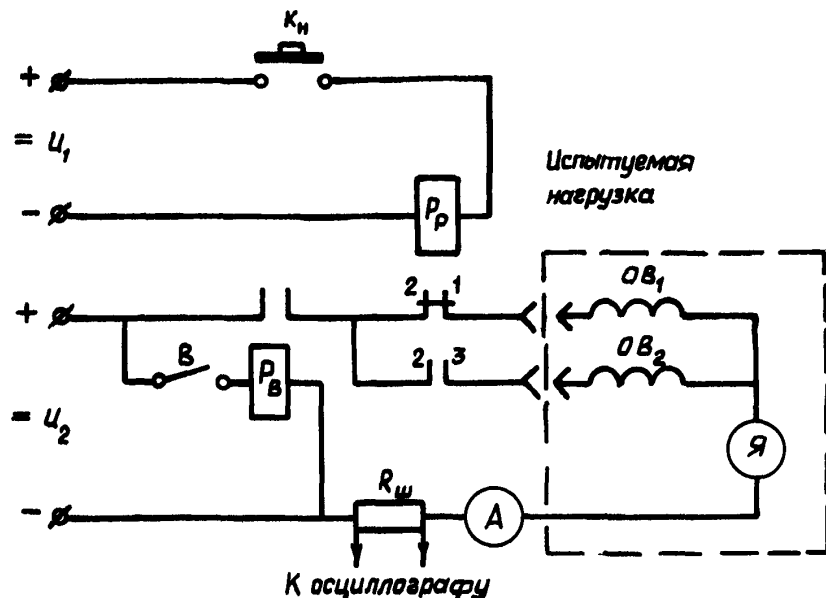
3.2.1. Параметры переходного процесса в режиме реверса с противовключением определяются только в том случае, если этот режим обеспечивается конструктивным исполнением испытуемой нагрузки и может иметь место в эксплуатации.

№ 131.
№ 132.

4-98

Но. № дубликата
Но. № серийника

3.2.2. Для определения параметров переходного процесса в режиме реверса с противовключением используется, например, электрическая схема, приведенная на черт. 4.



P_2 - реле реверсирования нагрузки;

P_2 — реле включения;

R_H - сопротивление нагрузки при установленной силе тока, соответствующей номинальному режиму работы двигателя.

R_w – сопротивление измерительного шунта ($R_w \leq 0,01 R_H$).

Черт. 4

3.2.3. С помощью осциллографа снимаются две осциллограммы зависимости силы тока от времени $i(t)$ при реверсе двигателя из установленного режима холостого хода при нормальных климатических условиях:

- одна при реверсе в одну сторону (при нажатии кнопки);
 - другая при реверсе в другую сторону (при отпускании кнопки).

3.2.4. На каждой из полученных осциллограмм зависимости $i(t)$ определяются амплитуда импульса силы тока I_M , длительность фронта импульса силы тока Δt_{φ} и длительность импульса силы тока Δt_u . Значение Δt_u определяется как время, в течение которого сила тока в цепи превышает значение $(I_M + I_{уст}) 0,5$. Значение Δt_{φ} определяется как время нарастания силы тока от $i = 0,05 I_M$ до $i = 0,95 I_M$.

3.2.5. По результатам обработки двух осциллограмм зависимости $l(t)$ выбираются большие значения I_m , Δt_u и меньшее значение Δt_{ϕ} .

4. МЕТОДИКА ОПРЕДЕЛЕНИЯ ПАРАМЕТРОВ ЛАМПОВОЙ И ЕМКОСТНОЙ НАГРУЗОК

4.1. Для определения параметров переходного процесса при включении ламповой или емкостной нагрузки последовательно с ней устанавливается измерительный шунт с сопротивлением R_w , составляющим не более 1 % от сопротивления нагрузки R_h .

4.2. С помощью осциллографа определяется зависимость силы тока в цепи от времени $i(t)$ при пяти повторных включениях нагрузки на номинальное напряжение. Время включенного состояния цепи в каждом случае должно быть не более, чем 0,5 с с перерывом между включениями не менее 10 с.

4.3. На каждой из полученных осциллограмм зависимости $i(t)$ определяются амплитуда импульса силы тока I_M , длительность фронта импульса силы тока Δt_φ , длительность импульса силы тока Δt_u . Значение Δt_u определяется как время, в течение которого сила тока в цепи превышает значение $(I_M + I_{уст})$ 0,5. Значение Δt_φ определяется как время нарастания силы тока от $i = 0,05 I_M$ до $i = 0,95 I_M$.

4.4. По результатам обработки пяти осциллограмм зависимости $i(t)$ выбираются наибольшие значения I_M и Δt_u и наименьшее значение Δt_φ .

5. МЕТОДИКА ВЫБОРА КОММУТАЦИОННОГО АППАРАТА ПО ПАРАМЕТРАМ КОММУТИРУЕМОЙ НАГРУЗКИ

5.1. Выбор коммутационного аппарата должен производиться по следующим параметрам коммутируемой нагрузки:

- номинальному напряжению U_h ;
- максимально возможной потребляемой силе тока $(I_{уст})_{max}$;
- эквивалентной электромагнитной постоянной времени T_E (или величине количества электричества \bar{Q}_p , определенного в соответствии с п. 2.2. или 2.3.);
- амплитуде импульса силы тока I_M , длительности импульса силы тока Δt_u и длительности фронта импульса силы тока Δt_φ , возникающей в переходном режиме коммутации.

Пределные значения указанных параметров для коммутационного аппарата должны определяться в соответствии с параметрами испытательных нагрузок и приводиться в технических условиях на коммутационный аппарат.

5.2. При определении срока службы коммутационных аппаратов рекомендуется использовать испытательные нагрузки с параметрами, приведенными в рекомендованном приложении 4.

5.3. Выбор коммутационного аппарата для цепей с резистивной нагрузкой

5.3.1. Из технических условий на нагрузку определяется номинальное напряжение U_h и максимально возможная в условиях эксплуатации установившаяся сила тока $(I_{уст})_{max}$ при напряжении, равном U_h .

5.3.2. Из технических условий на коммутационный аппарат определяется номинальное напряжение U_{hk} и допустимая установившаяся сила тока цепи контактов для резистивной нагрузки I_{kp} .

№ п/з	2	3	
№ п/з	9065	11005	
№ п/з	4408		
№ п/з			
№ п/з			

5.3.3. Применение коммутационного аппарата допустимо, если выполняются следующие условия: $U_{HK} \geq U_H$, $I_{KP} \geq (I_{уст})_{max}$.

5.3.4. При выполнении условий п. 5.3.3 обеспечивается срок службы коммутационного аппарата по числу включений, указанных в технических условиях на него для резистивной нагрузки.

5.4. Выбор коммутационного аппарата для цепей с индуктивной нагрузкой

5.4.1. Из технических условий на нагрузку определяются номинальное напряжение U_H , максимально возможная в условиях эксплуатации установившаяся сила тока $(I_{уст})_{max}$ при напряжении, равном U_H , и величина эквивалентной электромагнитной постоянной времени T_E или количество электричества \bar{Q} . При отсутствии в технических условиях данных о величине T_E или \bar{Q}_P они определяются в соответствии с разделом 2.

5.4.2. Из технических условий на коммутационный аппарат определяются номинальное напряжение U_{HK} , номинальная сила тока I_{HK} для индуктивной нагрузки и максимально допустимое для коммутационного аппарата значение электромагнитной постоянной времени T_{HK} (или количества электричества Q_{HK}), равное величине электрической постоянной времени $T_{эл. др}$ (или количеству электричества $Q_{эл. др}$) эквивалентного испытательного дросселя по ОСТ 1 00805-75 на номинальную силу тока, соответствующую силе тока I_{HK} .

5.4.3. Для данного типа коммутационного аппарата определяется максимально допустимое значение электромагнитной постоянной времени $T_{доп}$ при силе тока $(I_{уст})_{max}$ по формуле

$$T_{доп} = T_{HK} \frac{I_{HK}}{(I_{уст})_{max}} \quad (9)$$

5.4.4. Применение коммутационного аппарата допустимо, если выполняются следующие условия: $U_{HK} \geq U_H$; $I_{HK} \geq (I_{уст})_{max}$; $T_{доп} \geq T_E$ или $Q_{HK} \geq \bar{Q}_P$.

5.4.5. При выполнении условий п. 5.4.4 обеспечивается срок службы коммутационного аппарата по числу включений, указанный в технических условиях на него для индуктивной нагрузки.

5.5. Выбор коммутационного аппарата для цепей с ламповой или емкостной нагрузкой

5.5.1. Из технических условий на нагрузку определяются номинальное напряжение U_H , максимально возможная в условиях эксплуатации потребляемая установившаяся сила тока $(I_{уст})_{max}$ (или потребляемая мощность) при напряжении, равном U_H , а также параметры импульса силы тока, возникающего при ее включении, I_m , Δt_u , Δt_ϕ . При отсутствии в технических условиях данных о величинах I_m , Δt_ϕ , Δt_u они определяются в соответствии с разделом 4.

5.5.2. Из технических условий на коммутационный аппарат определяются номинальное напряжение U_{HK} , допустимая установившаяся сила тока $I_{кл}$, допустимая амплитуда импульса силы тока $I_{мкл}$, длительность импульса силы тока

№ изм.	2
№ изм.	9065

Инв. № дубликата	4408
Инв. № подлинника	

$\Delta t_{икл}$ и длительность фронта импульса силы тока $\Delta t_{фкл}$ цепи контактов для ламповой нагрузки.

5.5.3. Применение коммутационного аппарата допустимо, если выполняются следующие условия:

$$U_{нк} \geq U_n; I_{кл} \geq (I_{уст})_{max}; I_{мкл} \geq I_m;$$

$$I_{мкл} \Delta t_{икл} \geq I_m \Delta t_i; \Delta t_{фкл} \leq \Delta t_\phi.$$

5.5.4. При выполнении условий п. 5.5.3 обеспечивается срок службы коммутационного аппарата по числу включений, указанный в технических условиях на него для ламповой или емкостной нагрузки.

5.6. Выбор коммутационного аппарата для цепей с двигателевой нагрузкой

5.6.1. Из технических условий на нагрузку определяются номинальное напряжение U_n , максимально возможная в условиях эксплуатации потребляемая установившаяся сила тока $(I_{уст})_{max}$ при напряжении, равном U_n , а также параметры I_m , Δt_i , Δt_ϕ импульса силы тока, возникающего в режиме включения или реверса. При отсутствии в технических условиях данных о значениях I_m , Δt_ϕ , Δt_i они определяются в соответствии с разделом 3.

5.6.2. Параметры импульса силы тока в режиме реверса двигателевой нагрузки используются при выборе коммутационного аппарата только в том случае, если в эксплуатации имеет место реверс с противовключением.

5.6.3. Из технических условий на коммутационный аппарат определяются номинальное напряжение $U_{нк}$, допустимая установившаяся сила тока $I_{кд}$, допустимая амплитуда импульса силы тока $I_{мкд}$, длительность импульса силы тока $\Delta t_{икд}$ и длительность фронта импульса силы тока $\Delta t_{фкд}$ цепи контактов для двигателевой нагрузки.

5.6.4. Применение коммутационного аппарата допустимо, если выполняются следующие условия:

$$U_{нк} \geq U_n; I_{кд} \geq (I_{уст})_{max}; I_{мкд} \geq I_m;$$

$$I_{мкд} \Delta t_{икд} \geq I_m \Delta t_i; \Delta t_{фкд} \leq \Delta t_\phi.$$

5.6.5. При выполнении условий п. 5.6.4 обеспечивается срок службы коммутационного аппарата по числу включений, указанный в технических условиях на него для двигателевой нагрузки.

5.7. В случае невыполнения одного из условий, указанных в пп. 5.3.3, 5.4.4, 5.5.3 или 5.6.4 для данного вида нагрузки, выбирается коммутационный аппарат с большей номинальной силой тока или по согласованию с разработчиком коммутационного аппарата для него назначается меньший срок службы.

5.8. Коммутационные аппараты, используемые в качестве исполнительных элементов системы защиты от повышения напряжения при ненормальных режимах

№ изм.	2	3	11005
№ изв.	9065		

4408

Ннв. № дубликата
Ннв. № подлинника

по ГОСТ 19705-81, должны выбираться также из условия нормального отключения цепей при напряжении, соответствующем наибольшему значению переходного напряжения, за время не более 0,02 с.

5.9. Электромагнитные реле, предназначенные для включения приемников электроэнергии, должны выбираться также из условия неотпускания при снижении напряжения до значения, соответствующего минимальному переходному значению, оговоренному ГОСТ 19705-81 для нормального режима работы системы электроснабжения.

ME. #3M.	1
ME. #3S.	8880

Нос. № Аудитория	
Нос. № подавника	4408

ПРИЛОЖЕНИЕ 1
Рекомендуемое

ОСНОВНЫЕ ПАРАМЕТРЫ РЕГУЛИРУЕМОГО ДРОССЕЛЯ,
РЕКОМЕНДУЕМОГО ДЛЯ ИСПОЛЬЗОВАНИЯ
ПРИ ОПРЕДЕЛЕНИИ T_3 ИНДУКТИВНЫХ НАГРУЗОК

1. МАГНИТОПРОВОД

- 1.1. Материал: сталь 1512 ГОСТ 21427.0-75.
- 1.2. Исполнение: П-образное.
- 1.3. Средняя длина магнитной силовой линии \approx 640 мм.
- 1.4. Площадь сечения магнитопровода \approx 30 см².
- 1.5. Воздушный зазор — регулируемый, диапазон регулирования — 0-15 мм.

2. ОБМОТКА

- 2.1. Исполнение: в виде двух катушек, состоящих из отдельных секций с выводами для подключения в схему.
- 2.2. Число витков в секциях каждой катушки и диаметр обмоточного провода указаны в таблице.

Число витков в секции	Диаметр провода по меди, мм	Количество секций в катушке
25	1,70	4
50	1,18	2
100	0,80	2
200	0,50	1

4408

Ннв. № дубликата	Ннв. № седельника
------------------	-------------------

ПРИЛОЖЕНИЕ 2
Рекомендуемое

ЗАВИСИМОСТИ ЭЛЕКТРОМАГНИТНОЙ ПОСТОЯННОЙ ВРЕМЕНИ
ЛИНЕЙНОЙ НАГРУЗКИ ОТ КОЛИЧЕСТВА ЭЛЕКТРИЧЕСТВА,
РЕКОМЕНДУЕМЫЕ ДЛЯ ИСПОЛЬЗОВАНИЯ ПРИ ОПРЕДЕЛЕНИИ
ЭКВИВАЛЕНТНОЙ ПОСТОЯННОЙ ВРЕМЕНИ РЕАЛЬНОЙ
ИНДУКТИВНОЙ НАГРУЗКИ

1. Зависимости $T = f(Q)$ по диапазонам установившегося значения силы тока $I_{уст}$ приведены на:

- черт. 1 - для токов $0,5 \text{ A} \leq I_{уст} \leq 1,0 \text{ A}$;
- черт. 2 - для токов $1,0 \text{ A} \leq I_{уст} \leq 2,0 \text{ A}$;
- черт. 3 - для токов $2,0 \text{ A} \leq I_{уст} \leq 5,0 \text{ A}$;
- черт. 4 - для токов $5,0 \text{ A} \leq I_{уст} \leq 10,0 \text{ A}$;
- черт. 5 - для токов $10,0 \text{ A} \leq I_{уст} \leq 25,0 \text{ A}$.

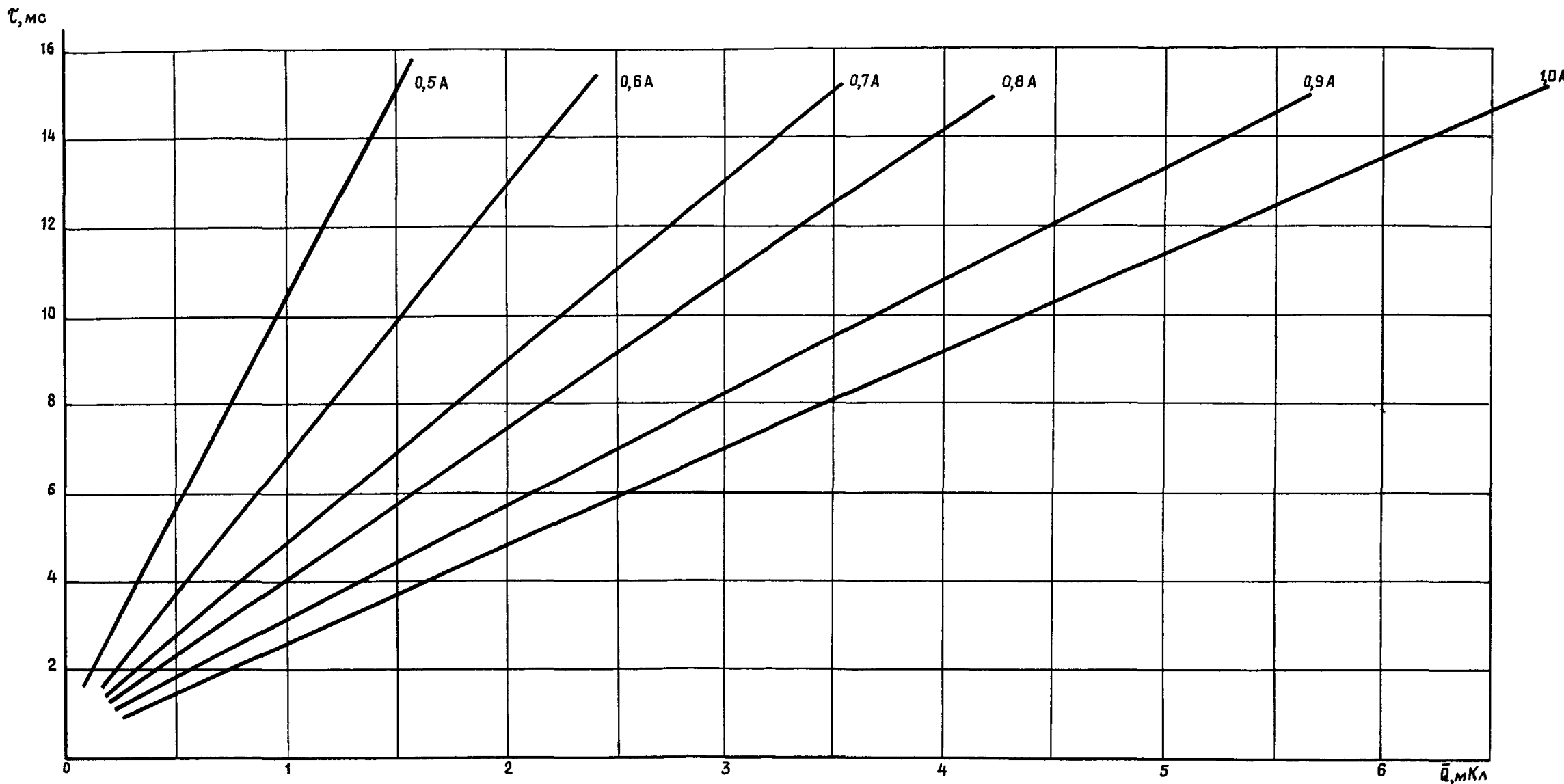
2. Приведенные зависимости $T = f(Q)$ получены при отключении линейных индуктивных нагрузок, содержащих дроссель с ферромагнитным шихтованным ненасыщенным магнитопроводом, контактами реле, указанными в настоящем стандарте.

№ 028.
№ 030.

4408

Но. № Альбома
Но. № листов

Зависимости электромагнитной постоянной времени линейных индуктивных нагрузок постоянного тока от количества электричества, прошедшего по цепи нагрузки при ее отключении контактами реле ТКЕ12ПД1У



Черт. 1

№ 118.

№ 119.

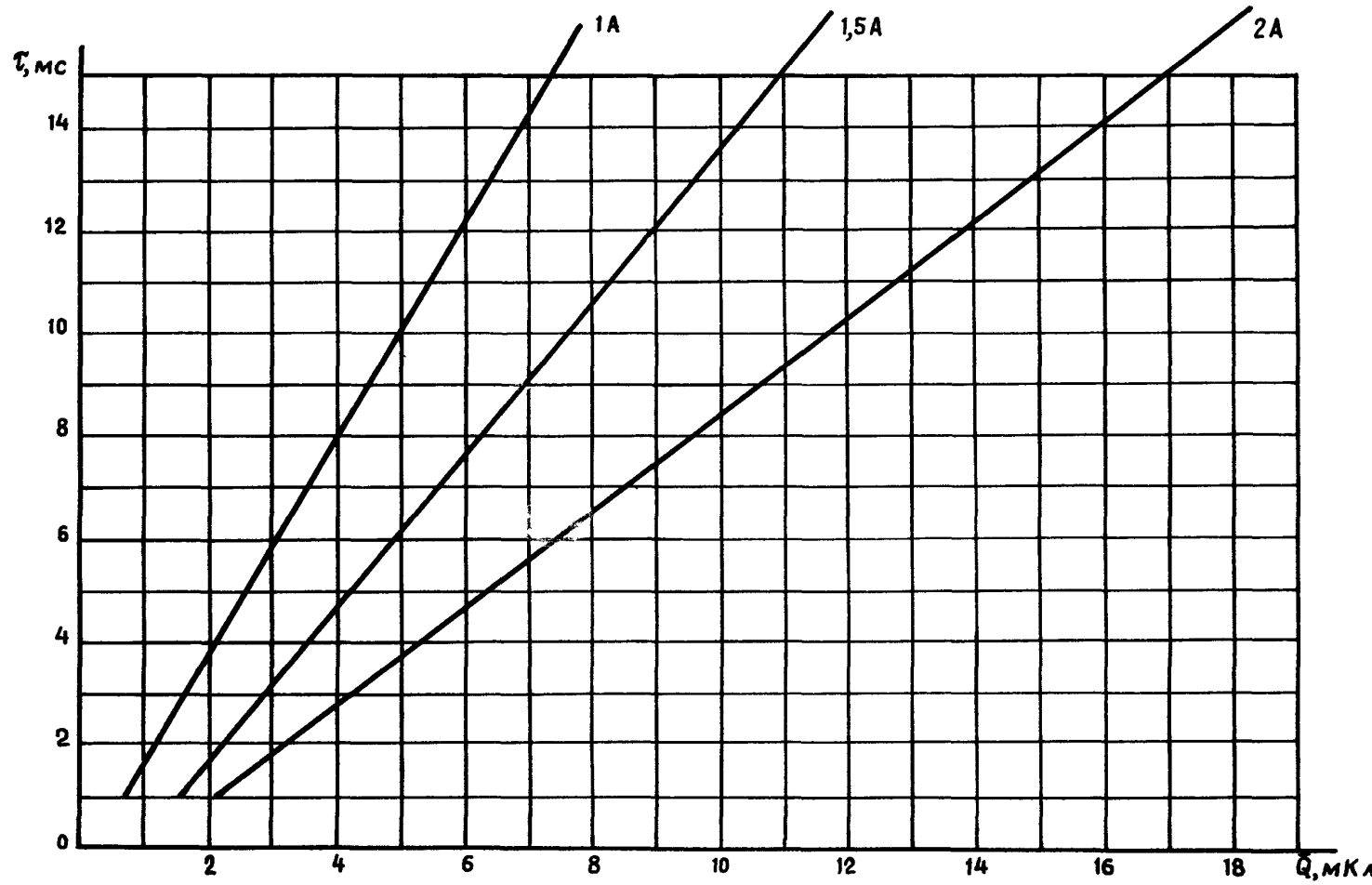
4408

Но. № лубриката

Но. № подшипника

Ном. № дубликата		№ изм.							
Ном. № подлинника	4408	№ изв.							

Зависимости электромагнитной постоянной времени линейных индуктивных нагрузок постоянного тока от количества электричества, прошедшего по цепи нагрузки при отключении контактами реле ТКЕ22ПДТ

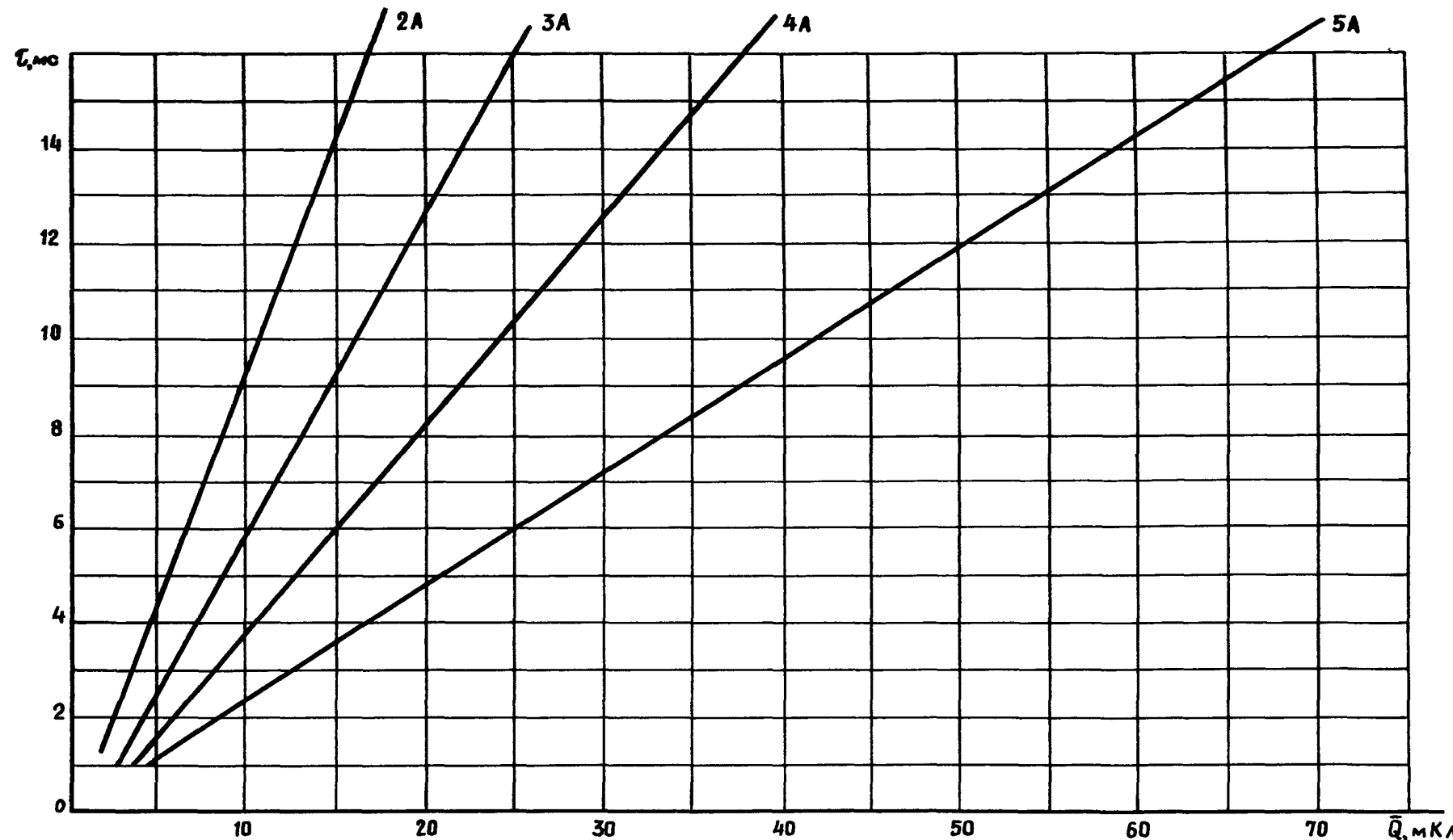


Черт. 2

Но. № дубликата	
Но. № подлинника	4408

№ изм.							
№ изм.							

Зависимости электромагнитной постоянной времени линейных индуктивных нагрузок постоянного тока
от количества электричества, прошедшего по цепи нагрузки при отключении контактами реле ТКЕ52ПД1

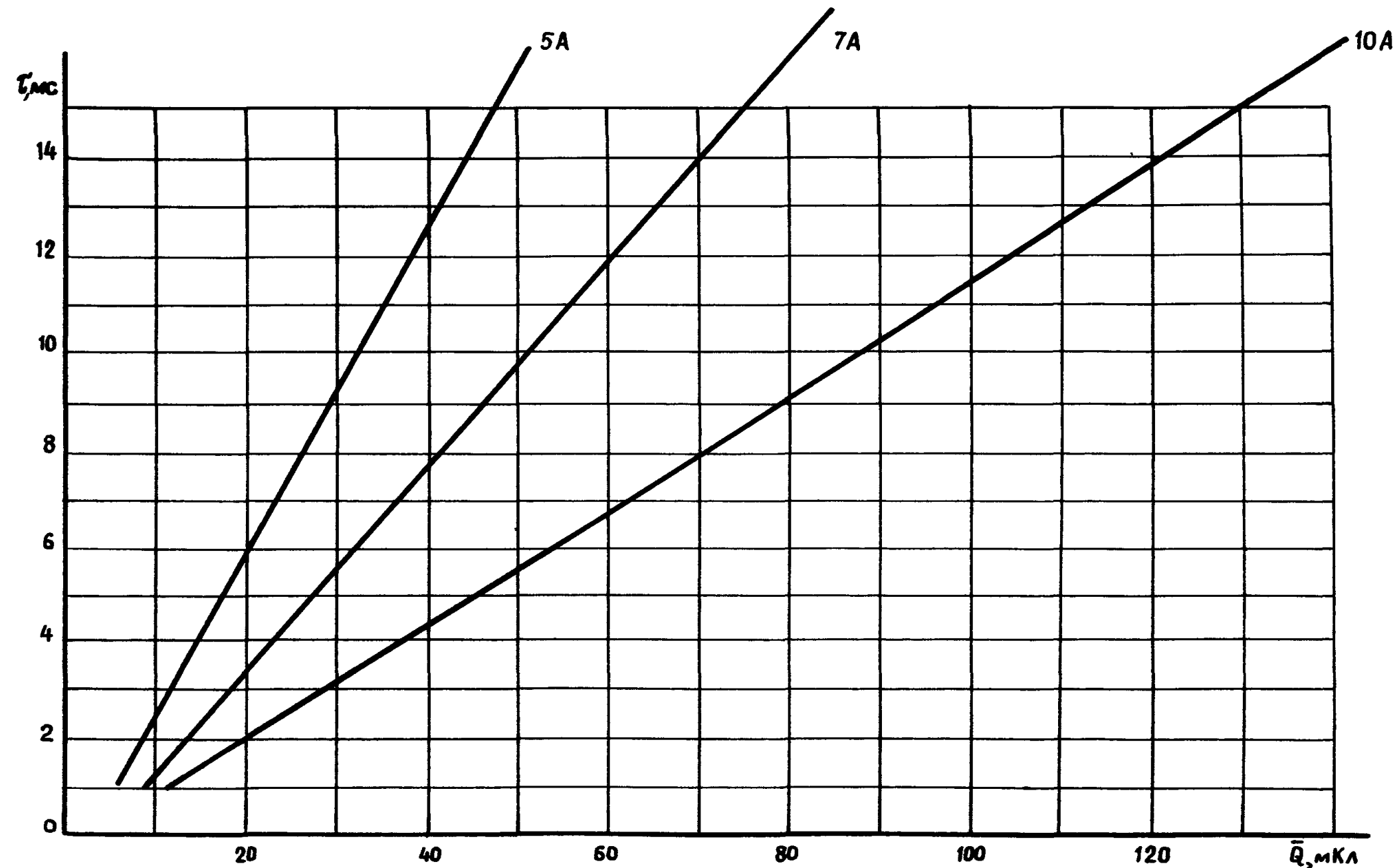


Черт. 3

Но. № дубликата	
Но. № подлинника	4408

№ изм.									
№ изв.									

Зависимости электромагнитной постоянной времени линейных индуктивных нагрузок постоянного тока
от количества электричества, прошедшего по цепи нагрузки при отключении контактами реле ТКД12ПД1

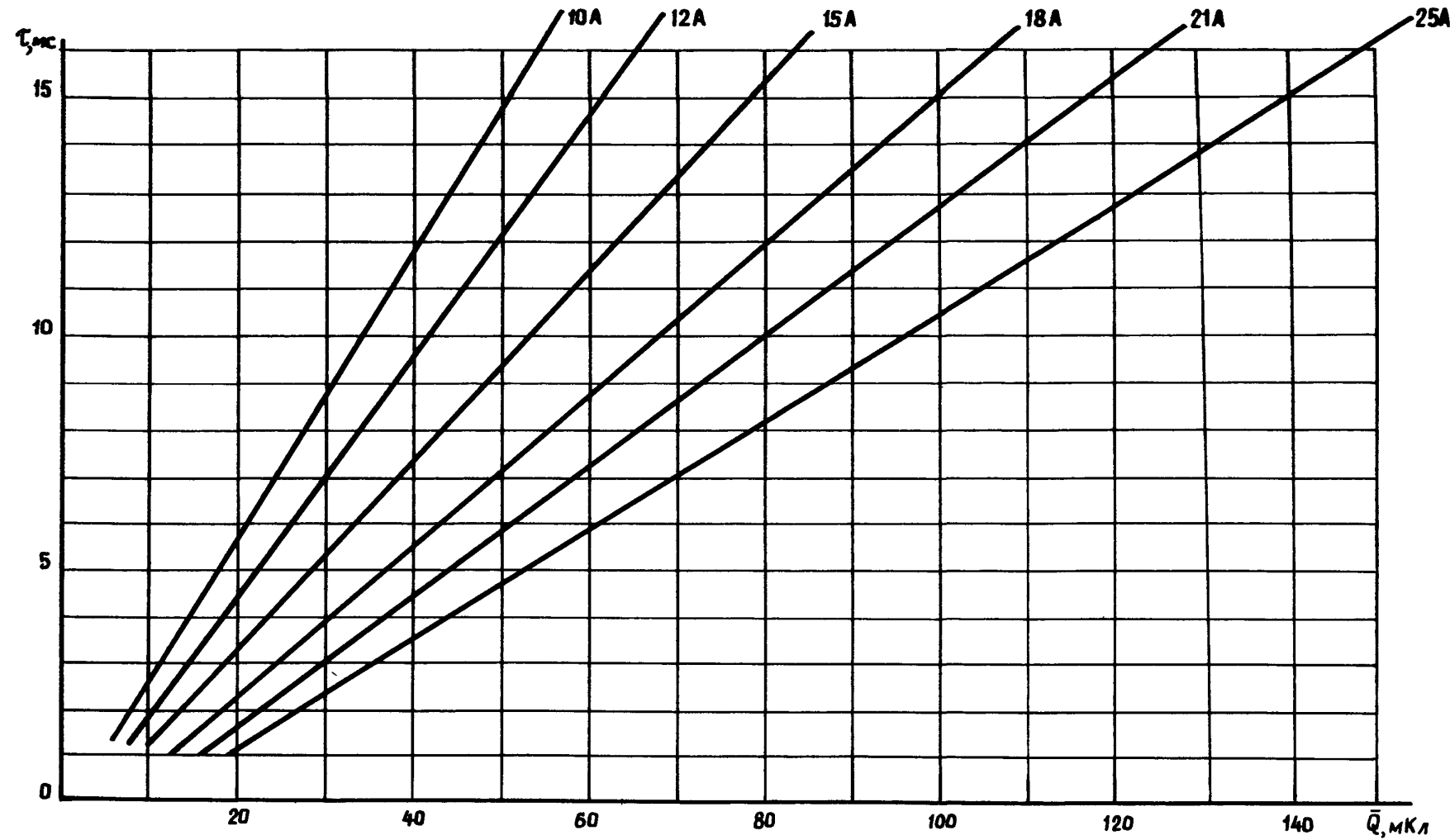


Черт. 4

Нав. № дубликата	
Нав. № подлинника	4408

№ изм.									
№ изв.									

Зависимости электромагнитной постоянной времени линейных индуктивных нагрузок постоянного тока
от количества электричества, прошедшего по цепи нагрузки при отключении контактами реле ТКД201Д1



ПРИЛОЖЕНИЕ 3

ПРИМЕР ОПРЕДЕЛЕНИЯ ЭКВИВАЛЕНТНОЙ ЭЛЕКТРОМАГНИТНОЙ ПОСТОЯННОЙ ВРЕМЕНИ T_s ЭЛЕКТРОМАГНИТА ЭМТ-243 И ВЫБОРА КОММУТАЦИОННОГО АППАРАТА ДЛЯ КОММУТАЦИИ ЕГО ЦЕПИ

1. ОПРЕДЕЛЕНИЕ T_3 ЭЛЕКТРОМАГНИТА (рабочее напряжение от 21 до 27 В.)

Сила тока, потребляемая при напряжении 27 В и температуре окружающей среды 20 °C, – не более 1,5 А. Температура окружающей среды – от минус 60 до плюс 120 °C, номинальная нагрузка на исполнительный орган – 25 Н).

1.1. Определяется количество электричества, проходящего в цепи с электромагнитом за время его отключения.

1.1.1. С помощью амперметра определяется сила тока в цепи при включенном электромагните: $I_{\text{амп}} = 1,26 \text{ A}$.

1.1.2. В соответствии с силой тока $I_{ycm} = 1,26$ А выбирается реле типа ТКЕ22ПДТ.

1.1.3. Электромагнит подключается через замыкающие контакты реле ТКЕ22ПДТ к источнику постоянного тока с напряжением 27 В по схеме, приведенной на черт. 1 или черт. 2 настоящего стандарта.

1.1.4. Активное сопротивление цепи с обмоткой электромагнита

$$R_H = \frac{U_H}{I_{WCM}} = \frac{27}{1,26} = 21,4 \text{ } \Omega_M.$$

1.1.5. Из условия $R_w = 0,01 R_H$ в схеме устанавливается измерительный шунт с сопротивлением $R_w = 0,2 \text{ Ом}$.

1.1.6. При использовании светолучевого осциллографа Н-115 выбирается гальванометр типа М004-0,6 с чувствительностью к току 22 мм/мА и внутренним сопротивлением 13 Ом.

1.1.7. С помощью осциллографа на фотоленте регистрируется зависимость силы тока от времени $i(t)$ при пяти отключениях электромагнита (черт. 1-3).

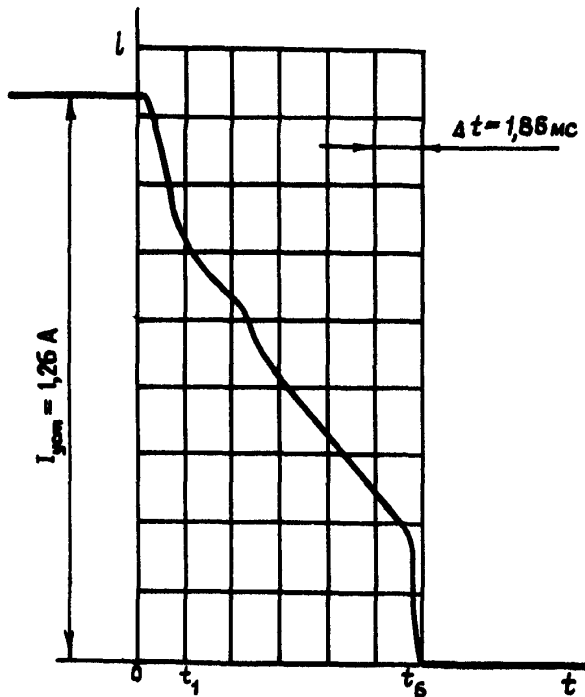
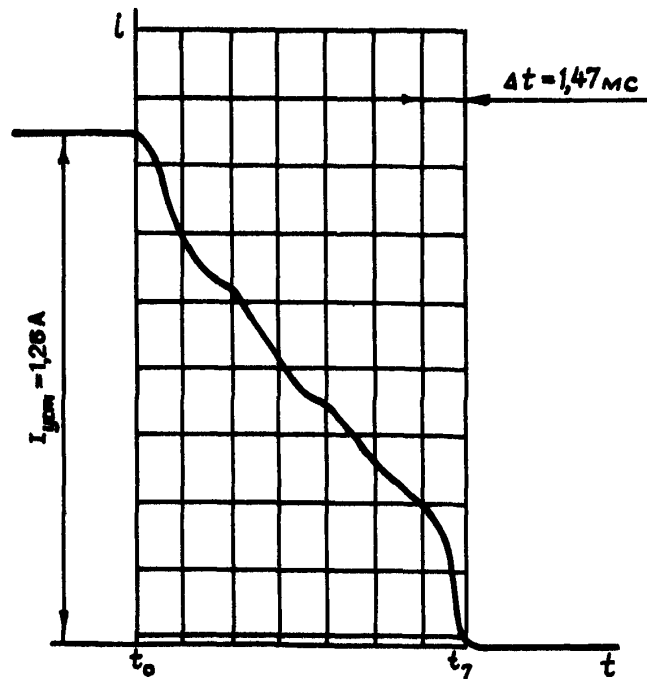
1.1.8. Каждая из полученных осциллограмм обрабатывается следующим образом:

- отрезок времени от начала коммутации (t_0) до момента перехода тока через нуль (t_n) делится в точках t_1, t_2, \dots, t_{n-1} на равные части с интервалом Δt :

- для моментов времени $t_0, t_1, t_2, \dots, t_{n-1}$ определяются значения силы тока $I_0, I_1, I_2, \dots, I_{n-1}$;

– по формуле $Q_p = \frac{\Delta t}{2} (I_0 + 2I_1 + 2I_2 + 2I_3 + \dots + 2I_{n-1})$ определяется количество электричества, прошедшего в цепи за время ее отключения.

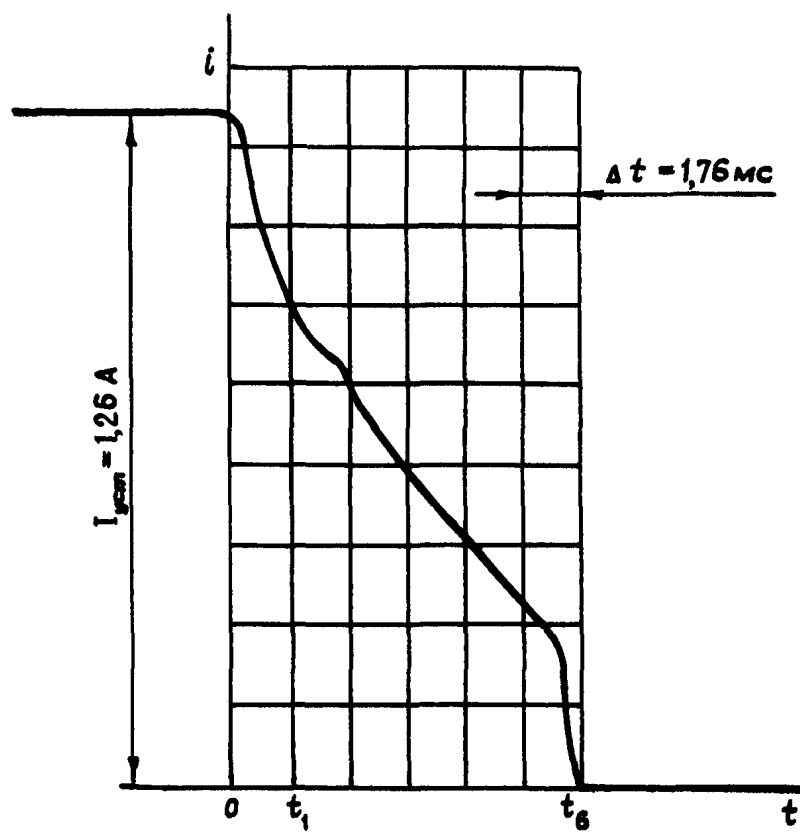
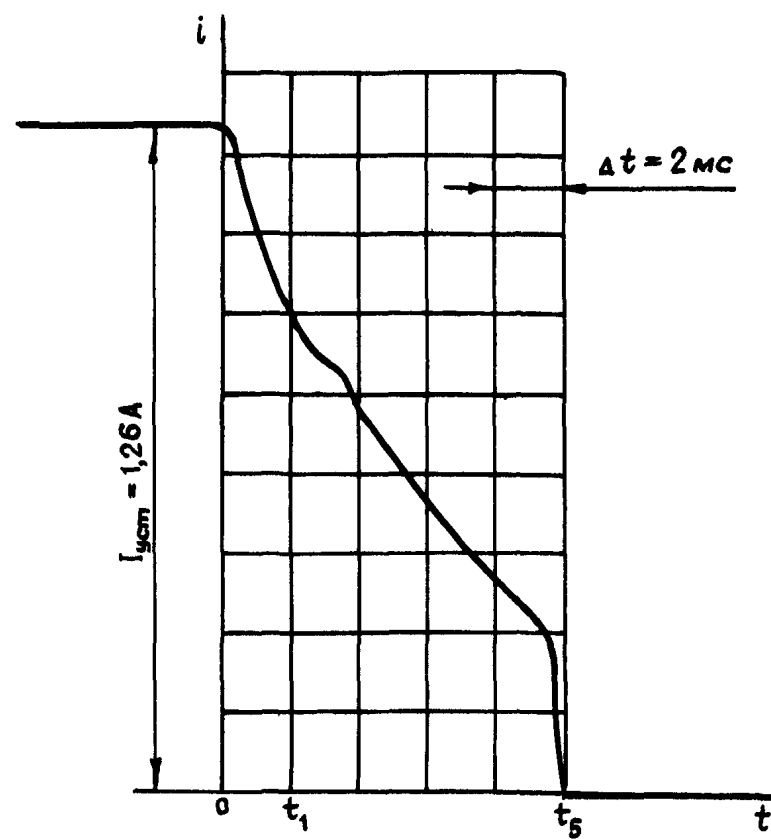
Оциллограммы № 1, 2 зависимости силы тока от времени $i(t)$ при отключении
электромагнита контактами реле ТКЕ22ПДТ



Черт. 1

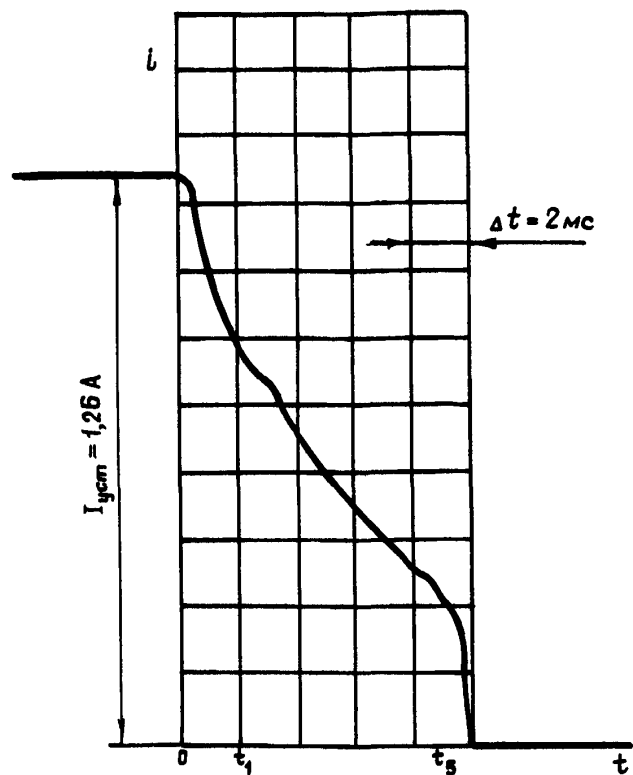
Нос. № Административ.	
Нос. № исполнительная	4408

Осциллографмы № 3, 4 зависимости силы тока от времени $i(t)$ при отключении
электромагнита контактами реле ТКЕ22ПДТ



Но. № Абзацата	№ изм.
Но. № изменила	4408

Осциллограмма № 5 зависимости силы тока от времени $i(t)$ при отключении электромагнита контактами реле ТКЕ22ПДТ



Черт. 3

1.1.9. По результатам обработки осциллограмм вычисляется среднее значение

$$\bar{Q}_p = \frac{\sum_{i=1}^k (Q_p)_i}{k} = \frac{6,8 + 7,4 + 6,5 + 6,7 + 6,4}{5} = 6,8 \text{ мКл.}$$

Результаты обработки осциллограмм приведены в табл. 1.

Таблица 1

Номер осцилло-граммы	Δt , мс	Значение силы тока в цепи электромагнита в процессе отключения, А								Количество электричества Q_p , мКл
		I_0	I_1	I_2	I_3	I_4	I_5	I_6	I_7	
1	1,47	1,26	1,010	0,880	0,715	0,590	0,450	0,349	0	6,8
2	1,86	1,26	0,720	0,828	0,638	0,510	0,388	0	-	7,4
3	2,00	1,26	0,910	0,737	0,555	0,418	0	-	-	6,5
4	1,76	1,26	0,926	0,760	0,592	0,487	0,350	0	-	6,7
5	2,00	1,26	0,910	0,713	0,546	0,287	0	-	-	6,4
Среднее значение										6,8

№ 138.

№ 138.

4408

Из. № изученна
Из. № сданна

1.2. Определение эквивалентной постоянной времени T_e электромагнита

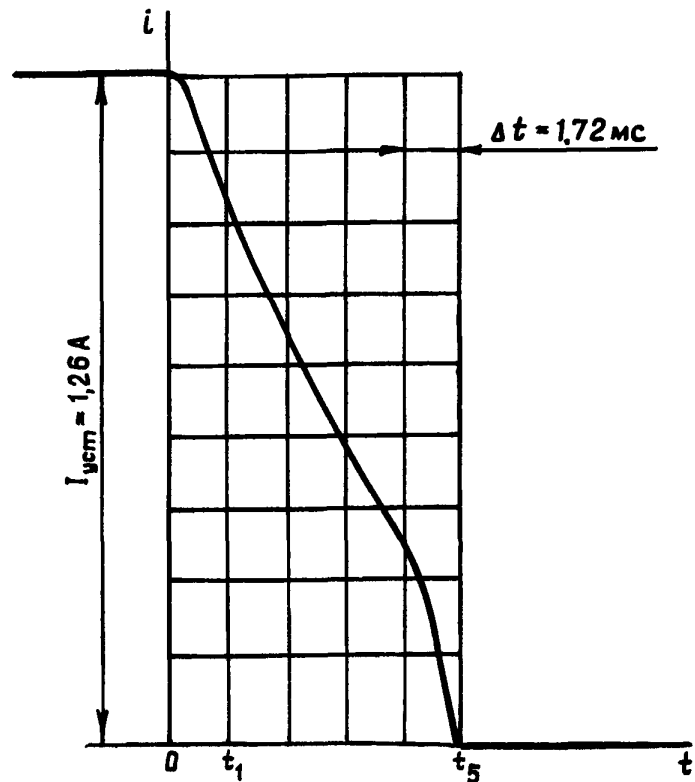
1.2.1. Определяется эквивалентная постоянная времени T_e электромагнита методом подбора эквивалентной нагрузки.

1.2.1.1. Электромагнит в схеме испытаний заменяется линейной нагрузкой в виде последовательно соединенных реостата и дросселя с шихтованным магнито-проводом, имеющим регулируемый воздушный зазор, и многосекционной обмоткой с отпайками для включения различного числа витков. Основные параметры дросселей приведены в рекомендуемом приложении 1.

1.2.1.2. С помощью реостата устанавливается сила тока в цепи ($I_{уст}$)_л = 1,26 А (при $U = 27$ В), равная силе тока, потребляемой электромагнитом.

1.2.1.3. Для предварительной оценки эквивалентности линейной нагрузки электромагниту с помощью светолучевого осциллографа на фотоленте регистрируется зависимость силы тока от времени $i_A(t)$ в процессе ее отключения (черт. 4).

Осциллограмма № 6 зависимости $i(t)$ при отключении
линейной нагрузки контактами реле ТКЕ22ПДТ



Черт. 4

1.2.1.4. Полученная осциллограмма обрабатывается аналогично п. 1.1.8. В результате обработки получается $Q_A = 5,8 \text{ мКл}$ (табл. 2).

Таблица 2

Номер осциллоGRAMМЫ	Δt , мс	Значение силы тока в цепи с линейной нагрузкой в процессе ее отключения, А						Количество электричества Q_A , мКл
		I_0	I_1	I_2	I_3	I_4	I_5	
6	1,72	1,26	1,04	0,78	0,58	0,38	0	5,8

1.2.1.5. Сравнение полученного значения Q_A со средним арифметическим значением $\bar{Q}_p = 6,8$ мКл показывает, что значение

$$\left| \frac{\bar{Q}_p - Q_A}{Q_p} \right| = \left| \frac{6,8 - 5,8}{6,8} \right| = 0,15 \text{ превышает допустимое значение (не более 0,1).}$$

1.2.1.6. После уменьшения воздушного зазора магнитопровода дросселя с помощью светолучевого осциллографа Н-115 на фотоленте регистрируется зависимость силы тока от времени $i_A(t)$ при пяти отключениях линейной нагрузки (черт. 5 - 7).

1.2.1.7. Каждая из полученных осциллограмм обрабатывается аналогично

п. 1.1.8. Результаты обработки приведены в табл. 3.

Таблица 3

Номер осциллоGRAMМЫ	Δt , мс	Значение силы тока в цепи линейной нагрузки в процессе ее отключения, А							Количество электричества Q_A , мКл
		I_0	I_1	I_2	I_3	I_4	I_5	I_6	
7	1,42	1,26	1,00	0,900	0,74	0,62	0,48	0	6,9
8	1,34	1,26	1,10	0,950	0,80	0,64	0,44	0	6,9
9	1,90	1,26	1,05	0,860	0,65	0,50	0,00	-	7,0
10	1,62	1,26	1,10	0,910	0,74	0,56	0,40	0	7,0
11	1,80	1,26	1,10	0,882	0,68	0,50	0,00	-	6,9
Среднее значение									6,8

1.2.1.8. Вычисляется среднеарифметическое значение

$$\bar{Q}_p = \frac{\sum_{i=1}^K (Q_A)_i}{K} = \frac{6,9 + 6,1 + 6,9 + 7}{5} = 6,8 \text{ мКл.}$$

1.2.1.9. Сравнение полученных значений $\bar{Q}_p = 6,8$ мКл и $Q_A = 6,8$ мКл показывает, что $\left| \frac{Q_A - \bar{Q}_p}{Q_p} \right| = 0$. Следовательно, данная линейная нагрузка эквивалентна электромагниту.

1.2.1.10. С помощью осциллографа Н-115 на фотоленте регистрируется зависимость силы тока от времени $i_A(t)$ при включении эквивалентной нагрузки (черт. 8).

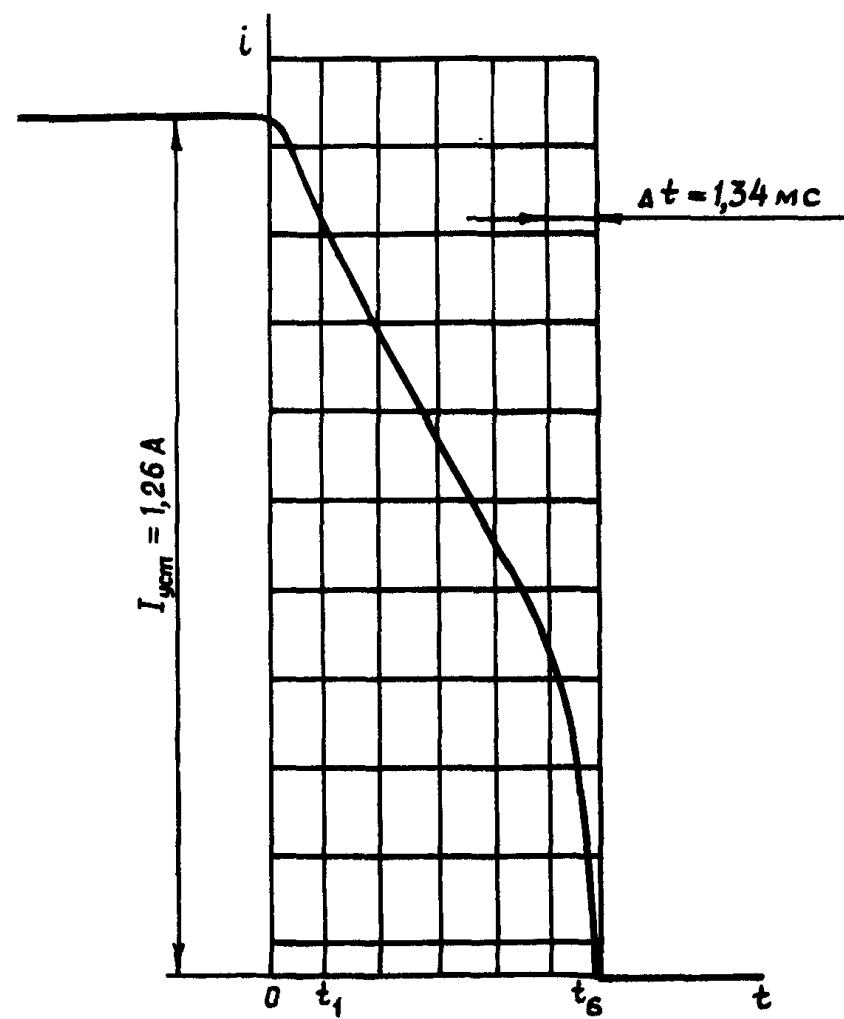
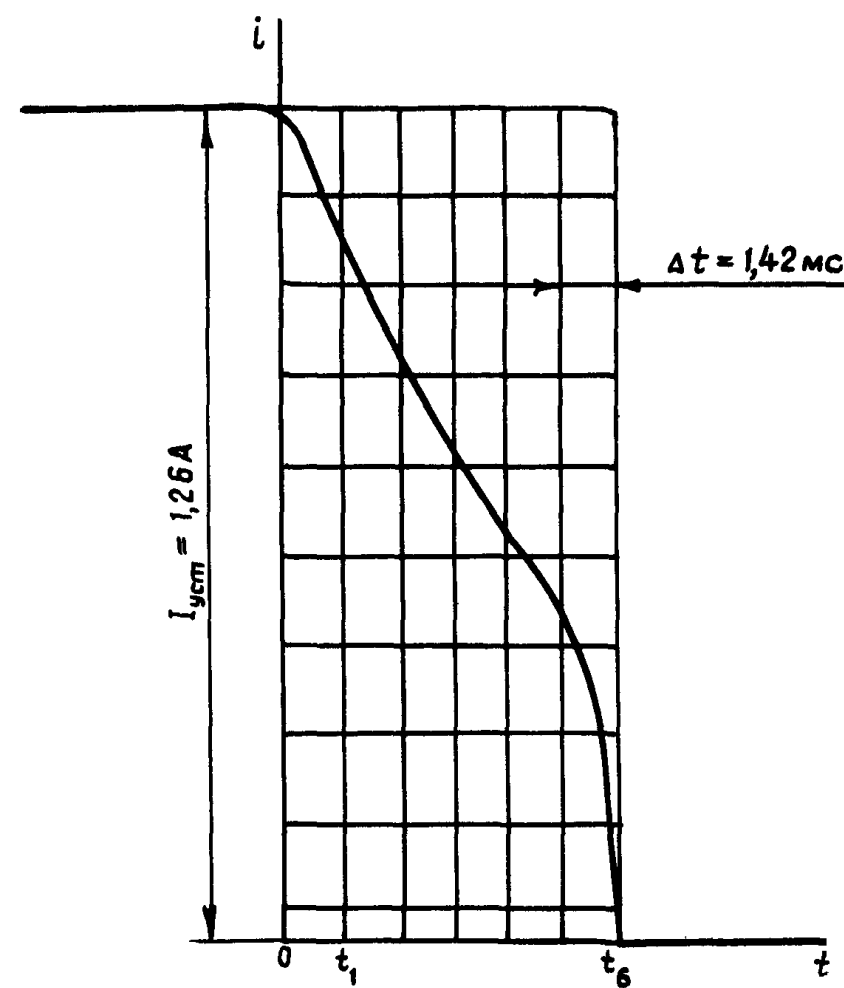
1.2.1.11. По полученной зависимости определяются два значения T :

- $T_1 = 11$ мс - время нарастания силы тока от нуля до $0,632 I_{y\text{ст}}$;

- $T_2 = 11$ мс - время нарастания силы тока от $0,5 I_{y\text{ст}}$ до $0,816 I_{y\text{ст}}$.

1.2.1.12. Сравнение значений $T_1 = 11$ мс и $T_2 = 11$ мс показывает, что $T_1 = T_2$. Это свидетельствует о линейности эквивалентной нагрузки. Следовательно, принимается $T_3 = 11$ мс.

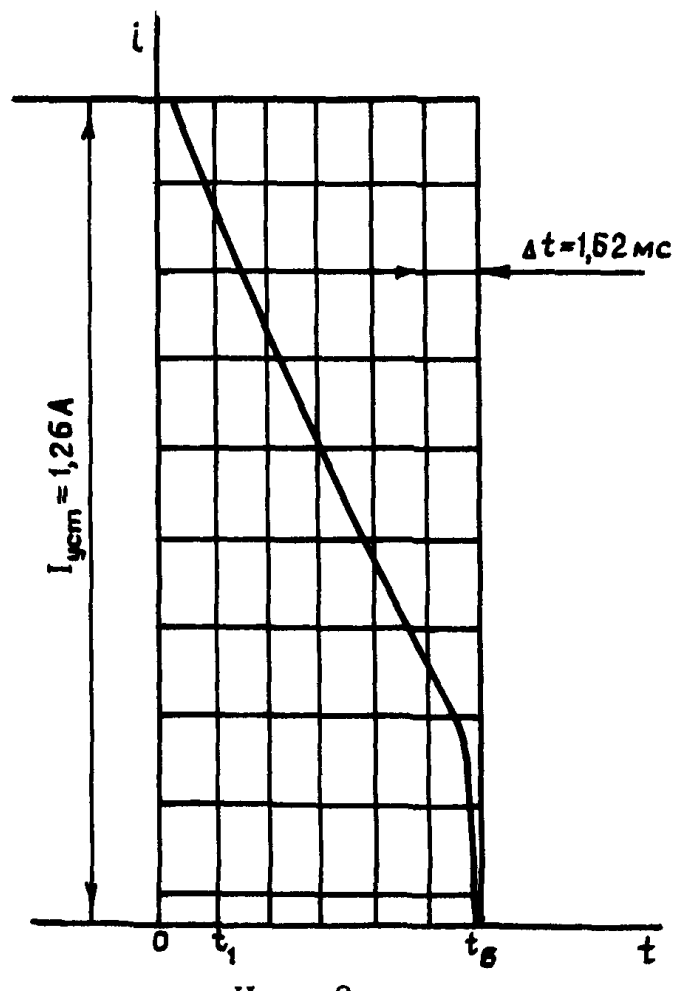
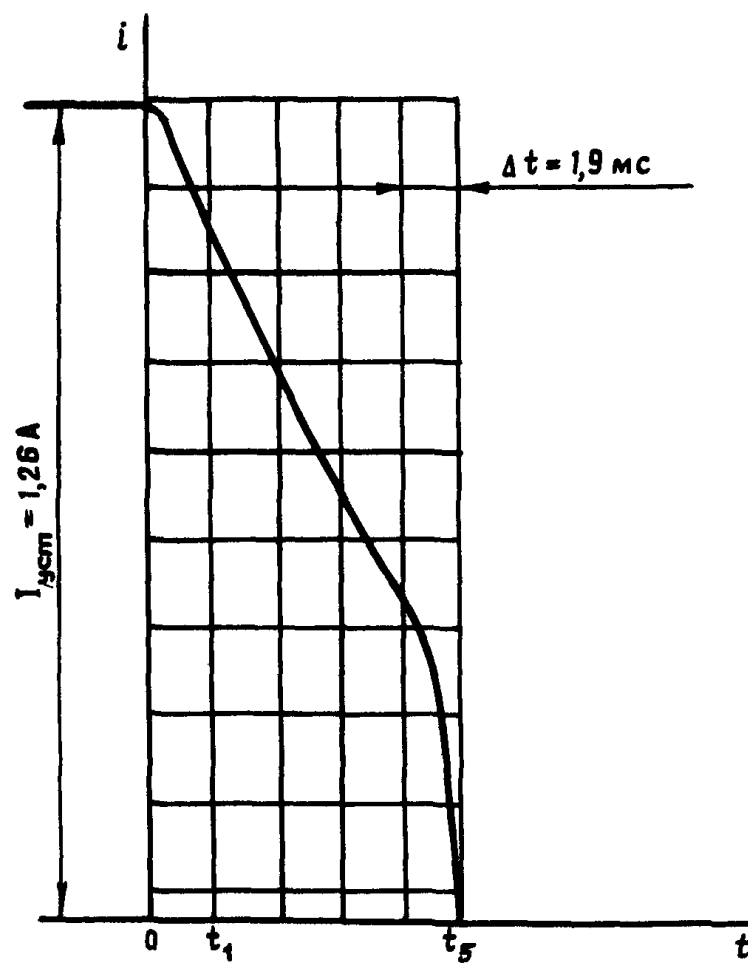
Осциллограммы № 7,8 зависимости силы тока от времени $i(t)$
при отключении линейной нагрузки контактами реле ТКЕ22ПДТ



Черт. 5

Нар. № дубликата	4408
Нар. № подлинника	

Осциллограммы № 9, 10 зависимости силы тока от времени
 $i(t)$ при отключении линейной нагрузки контактами реле ТКЕ22ПДТ



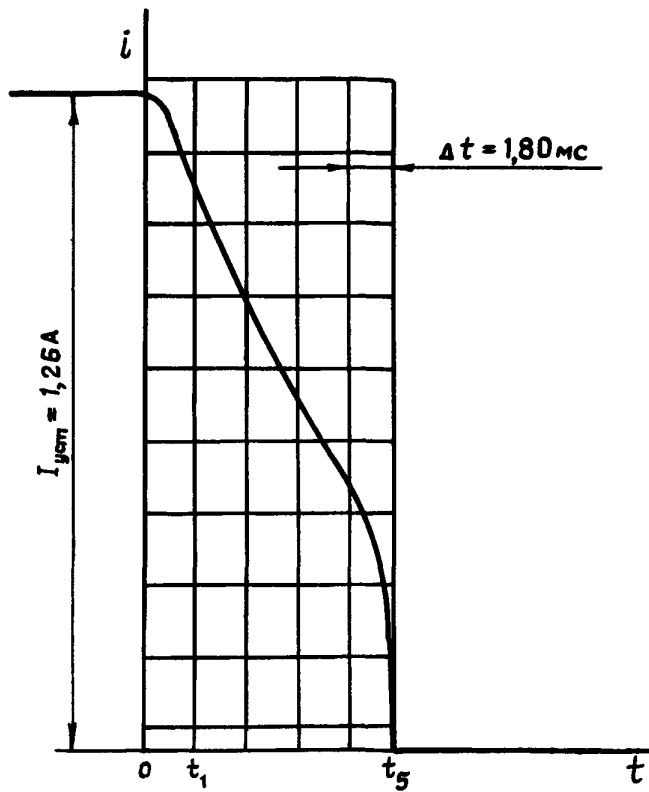
Черт. 6

№ 030.
№ 031.

4408

Из. № Абоненту
Из. № Абоненту

Осциллограмма № 11 зависимости силы тока от времени $i(t)$
при отключении линейной нагрузки контактами реле ТКЕ22ПДТ



Черт. 7

1.2.2. Определение эквивалентной постоянной времени T_3 электромагнита по зависимостям $T = f(Q)$, приведенным в приложении 2

1.2.2.1. В п. 1.1 определено, что для электромагнита $I_{ycm} = 1,26$ А $\bar{Q} = 6,8$ мКл. По черт. 2 приложения 2 определяются два значения T при $\bar{Q} = 6,8$ мКл для сил токов $I_1 = 1$ А и $I_2 = 1,5$ А. Эти значения составляют соответственно $T'_1 = 13,9$ мс, $T'_2 = 8,7$ мс.

1.2.2.2. Значение T_3 при $I_{ycm} = 1,26$ А определяется из следующей пропорции:

$$\frac{I_2 - I_1}{I_{ycm} - I_1} = \frac{T'_2 - T'_1}{T_3 - T'_1} .$$

1.2.2.3. После подстановки численных значений определяется T_3 электромагнита:

$$\frac{1,5 - 1}{1,26 - 1} = \frac{8,7 - 13,9}{T_3 - 13,9} ,$$

откуда $T_3 = 11,2$ мс.

№ изм.	
№ изм.	

4408

Нагр. № дубликата	
Нагр. № подлинника	

ноз. № дубликата

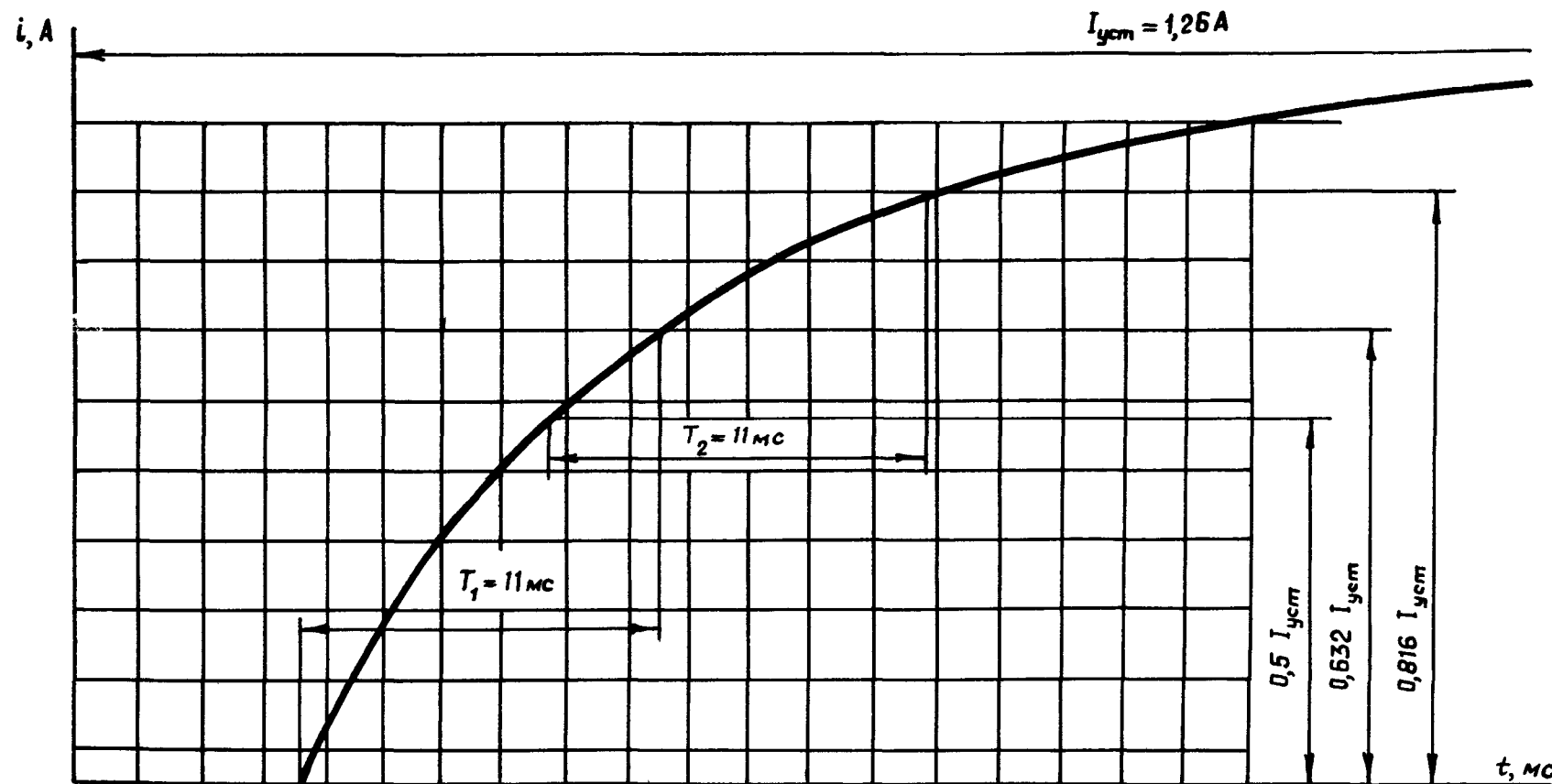
4408

№ изм.

№ 138.

Ноз. № подлинника

Зависимость $i_3(t)$ при включении эквивалентной нагрузки
на постоянное напряжение 27 В



Черт. 8

2. ВЫБОР КОММУТАЦИОННОГО АППАРАТА ДЛЯ КОММУТАЦИИ ЦЕПИ С ЭЛЕКТРОМАГНИТОМ

2.1. Максимально возможное установившееся значение силы тока в цепи электромагнита при напряжении 27 В и температуре окружающей среды минус 60 °С определяется по формуле:

$$(I_{yem})_{max} = (I_{yem})_{+20} (1 + 0,004 \cdot t) = 1,5 (1 + 0,004 \cdot 80) = 1,98 \text{ A.}$$

2.2. Для коммутации электрической цепи с электромагнитом выбирается реле типа ТКЕ22П1Г, для которого $U_{nk} = 27 \text{ В}$, $I_{nk} = 2 \text{ A} \approx (I_{yem})_{max} = 1,98 \text{ A}$, $\tau_{nk} = 15 \text{ мс}$, срок службы – 25000 срабатываний.

2.3. Максимально допустимое значение электромагнитной постоянной времени при силе тока нагрузки $(I_{yem})_{max} = 1,98 \text{ A}$ составляет

$$\tau_{dop} = \tau_{nk} \frac{I_{nk}}{(I_{yem})_{max}} = 15 \frac{2}{1,98} \approx 15 \text{ мс.}$$

2.4. Поскольку $\tau_d = 11 \text{ мс} < \tau_{dop} = 15 \text{ мс}$, то применение реле ТКЕ22П1Г для коммутации цепи с электромагнитом допустимо.

№ ин.	№ ин.
-------	-------

4408	
------	--

Нар. № дубликата	Нар. № копии
------------------	--------------

ПАРАМЕТРЫ ИСПЫТАТЕЛЬНЫХ НАГРУЗОК,
 РЕКОМЕНДУЕМЫЕ ДЛЯ ИСПОЛЬЗОВАНИЯ ПРИ ОПРЕДЕЛЕНИИ СРОКА СЛУЖБЫ
 КОММУТАЦИОННЫХ АППАРАТОВ В ЦЕПЯХ С РЕЗИСТИВНЫМИ,
 ЛАМПОВЫМИ, ИНДУКТИВНЫМИ И ДВИГАТЕЛЬНЫМИ НАГРУЗКАМИ

1. Параметры цепи испытательной нагрузки, которая должна использоваться для определения срока службы коммутационного аппарата при коммутации резистивных нагрузок

1.1. Напряжение питания нагрузки должно быть равно номинальному напряжению цепи контактов коммутационного аппарата.

1.2. Значение установившейся силы тока в цепи должно быть равно номинальной силе тока цепи контактов коммутационного аппарата для резистивной нагрузки.

1.3. Электромагнитная постоянная времени коммутируемой цепи не должна быть более 0,5 мс.

2. Параметры цепи испытательной нагрузки для определения срока службы коммутационного аппарата при коммутации ламповой и емкостной нагрузок.

2.1. Напряжение питания нагрузки должно быть равно номинальному напряжению цепи контактов коммутационного аппарата.

2.2. Режим изменения силы тока в цепи ламповой нагрузки должен быть следующим:

- $I_1 = 12 I_{kl}$ - в течение 20 мс;
- $I_2 = I_{kl}$ - в течение 1 с;
- $I_3 = 0$ - в течение 7 с,

где I_{kl} - допустимая установившаяся сила тока в цепи контактов для ламповой нагрузки.

2.3. Режим изменения силы тока в цепи емкостной нагрузки должен быть следующим:

- 1) $I_1 = 5 I_{ke}$ - в течение 2 мс;
- 2) $I_2 = I_{ke}$ - в течение 1 с;
- 3) $I_3 = 0$ - в течение 7 с,

где I_{ke} - допустимая установившаяся сила тока в цепи контактов для емкостной нагрузки.

2.4. Электромагнитная постоянная времени цепи нагрузки не должна быть более 0,5 мс.

3. Параметры цепи испытательной нагрузки для определения срока службы коммутационного аппарата при коммутации двигательной нагрузки

3.1. Напряжение питания нагрузки должно быть равно номинальному напряжению цепи контактов коммутационного аппарата.

№ изм.	3
№ изв.	11005

4408

Изв. № дубликата
Изв. № подлинника

3.2. Режим изменения силы тока в цепи нагрузки должен быть следующим:

- $I_1 = 5 I_{kd}$ - в течение 0,4 с с длительностью нарастания тока ($4+0,5$) мс;
- $I_2 = I_{kd}$ - в течение 1 с;
- $I_3 = 0$ - в течение 2 с,

где I_{kd} - допустимая установившаяся сила тока в цепи контактов для двигательной нагрузки.

3.3. Эквивалентная постоянная времени T_3 цепи нагрузки при отключении должна составлять 1 мс.

4. Параметры испытательной нагрузки для определения срока службы коммутационного аппарата при коммутации индуктивной нагрузки приведены в ОСТ 1 00805-75.

5. Допустимая длительность фронта импульса силы тока для цепи контактов ($\Delta t_{\text{фр},l}$ и $\Delta t_{\text{фр},d}$), которая должна приводиться в технических условиях на коммутационный аппарат, определяется по параметрам нагрузки, используемой при испытаниях коммутационного аппарата.

Инв. № дубликата	4408
Инв. № подлинника	

№ изм.	2	3
№ изв.	9065	11005

ЛИСТ РЕГИСТРАЦИИ ИЗМЕНЕНИЙ

№ изм.	Номера страниц				Номер "Изв. об изм."	Подпись	Дата	Срок введения изменений
	изме- ненных	само- измененных	новых	анну- лиро- ванных				

4498

Исп. № Дубликат
Исп. № подлинник